

# Theoretical investigation of electronic and thermoelectric properties of 2D pentagonal nanomaterial BeP<sub>2</sub> by density functional theory

Mojtaba Ashhadi \*

Department of Physics, Faculty of Science, University of Sistan and Baluchestan, Zahedan, Iran

Received: 12.08.2022 Final revised: 06.01.2023 Accepted: 12.02.2023

Doi link: [10.22055/jrmbs.2023.18133](https://doi.org/10.22055/jrmbs.2023.18133)

## Abstract

In this study, using the density functional theory and the semiclassical Boltzmann transport equation, the electronic and thermoelectric properties of two-dimensional (2D) pentagonal nanomaterial BeP<sub>2</sub> are calculated. According to our results, 2D pentagonal nanomaterial BeP<sub>2</sub> indicates an indirect band gap semiconductor with the value of 0.28 eV. The thermoelectric study shows an excellent thermoelectric performance of the 2D BeP<sub>2</sub> monolayer with a high figure of merit, so that, the nanomaterial of BeP<sub>2</sub> is a p-type semiconductor, and Seebeck coefficient and figure of merit at room temperature were obtained as 308  $\mu\text{V/K}$  and 0.9, respectively. It is expected that in the future, the pentagonal nanomaterial BeP<sub>2</sub> will be a perfect candidate for high-performance thermoelectric materials.

**Keywords:** 2D pentagonal nanomaterial BeP<sub>2</sub>, Electronic and thermoelectric properties, Density functional theory, Boltzmann transport equation

\*Corresponding Author: mo\_ashhadi@phys.usb.ac.ir

## بررسی نظری ویژگی‌های الکترونی و ترموالکتریکی نانو ماده پنج‌ضلعی

### دوبعدی BeP<sub>2</sub> توسط نظریه تابعی چگالی

مجتبی اشهدی\*

گروه فیزیک، دانشکده علوم، دانشگاه سیستان و بلوچستان، زاهدان، ایران

دریافت: ۱۴۰۱/۰۵/۲۱ ویرایش نهایی: ۱۴۰۱/۱۰/۱۶ پذیرش: ۱۴۰۱/۱۱/۱۷

Doi link: [10.22055/rmbs.2023.18133](https://doi.org/10.22055/rmbs.2023.18133)

#### چکیده

در این پژوهش، با استفاده از نظریه تابعی چگالی و معادله تراپردازی نیمه کلاسیکی بولتزمن، ویژگی‌های الکترونی و ترموالکتریکی نانو ماده پنج‌ضلعی دوبعدی BeP<sub>2</sub>، مورد مطالعه قرار گرفته است. نتایج نشان می‌دهد که نانو ماده پنج‌ضلعی دوبعدی BeP<sub>2</sub> یک نیمرسانا با گاف نواری غیر مستقیم و با مقدار ۰,۲۸ الکترون‌ولت می‌باشد. مطالعه ترموالکتریک تکلایه دوبعدی BeP<sub>2</sub> عملکرد خوب ترموالکتریکی را با ضریب ارزشی بالا را نمایش می‌دهد، به طوری که نانو ماده BeP<sub>2</sub> یک نیمرسانای نوع p است و مقدار ضریب سییک و ضریب ارزشی در دمای اتاق به ترتیب، ۳۰۸ μV/K و ۰,۹ به دست آمدند. انتظار می‌رود که در آینده، نانو ماده پنج‌ضلعی BeP<sub>2</sub> نامزد خوبی برای مواد ترموالکتریک با کارایی بالا باشد.

**کلیدواژگان:** نانو ماده پنج‌ضلعی دوبعدی BeP<sub>2</sub>، ویژگی‌های الکترونی و ترموالکتریکی، نظریه تابعی چگالی، معادله تراپردازی بولتزمن

#### مقدمه

سیلیسן [۳]، ژرمانین [۴] و استانین [۵]، و شش‌ضلعی بورن-نیترید (h-BN) [۶]، پیشنهاد و بررسی شده‌اند. در اوایل سال ۲۰۱۵، یک گروه تحقیقاتی اثبات کردند که یک نانوساختار جدید دوبعدی کربن، شامل فقط ساختارهای پنج‌ضلعی می‌تواند وجود داشته باشد. این نانوساختار از نظر دینامیکی، گرمایی و مکانیکی پایدار است [۷]. اخیراً کارهای تحقیقاتی متعددی بر پایه محاسبات نظری، روی نانوساختارهای پنج‌ضلعی تک لایه انجام شده است [۸-۱۰]. در مطالعه اخیری که بر پایه محاسبات اصول اولیه انجام شده است، یک گروه تحقیقاتی اثبات کردند که نانوساختار پنج‌ضلعی تک لایه BeP<sub>2</sub> می‌تواند وجود داشته باشد [۱۱]. پایداری

علم نانو و فناوری نانو در طی چند دهه گذشته توجه بسیاری را به خود جلب کرده است. در میان بسیاری از انواع نانو مواد، ساختارهای دوبعدی، یعنی مواد بلوری مشکل از یک لایه اتم، نقش اساسی در گسترش فناوری‌های جدید ایفا می‌کنند. بنابراین، پیش‌بینی مواد جدید، به ویژه با ابعاد کم، همیشه جذاب است. اولین ماده دوبعدی، گرافن، که یک تکلایه از گرافیت است، در سال ۲۰۰۴ جداسازی شد [۱]. سپس بسیاری از مواد دوبعدی دیگر پیش‌بینی و تولید شدند. در دهه اخیر، بسیاری از مواد تکلایه دوبعدی مانند گرافن [۲]،

\* نویسنده مسئول: mo\_ashhadi@phys.usb.ac.ir



در این مقاله، بهمنظور جستجوی مواد ترموالکتریک با کارایی بالا، با استفاده از نظریه تابعی چگالی همراه با معادله تراپردازی نیمه‌کلاسیکی بولتزمن، خواص الکترونی و ترموالکتریکی نانوساختار تک‌لایه BeP<sub>2</sub> را بررسی می‌کنیم. نتایج نشان می‌دهند که خواص ترموالکتریک این نانوساختار، دارای ضریب سیبیک بزرگ، ضریب عامل توان بالا و رسانندگی گرمایی پایین است. نکته مهم این است که، می‌توان ضریب سیبیک، ضریب ارزشی و ضریب عامل توان را با توجه به نوع حامل‌های n و p، تا حد زیادی افزایش داد.

### روش محاسبات

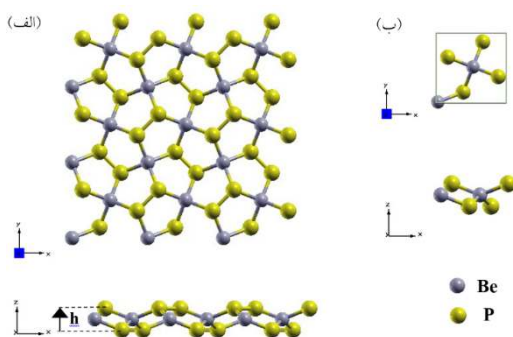
تمام محاسبات اصول اولیه با استفاده از نظریه تابعی چگالی به دست می‌آیند که توسط بسته نرم افزاری کوآئوم-اسپرسو [۱۴] انجام می‌شوند. برای تعیین پتانسیل همبستگی-تبادلی از تقریب شبیه تعمیم یافته GGA(PBE) [۱۵]، استفاده شده است. برای بهینه‌سازی هندسه ساختار و دستیابی به دقت مناسب در محاسبات از روش مونخورست-پک و انرژی قطع ۶۰۰eV و تحت نمونه برداری از منطقه اول بربیلوئن ۱۲×۱۲×۱، استفاده کرده‌ایم. ثابت شبکه و مکان‌های اتمی ساختار BeP<sub>2</sub> را به طور کامل واهلش کرده تا همگرایی انرژی حدود ۱۰<sup>-۶</sup>eV شود و برای کمینه کردن انرژی اتم کمتر از ۰/۰۲eV/Å<sup>۲</sup> می‌باشد. نسبت به موقعیت اتم‌ها قضیه هلمن-فاینمن را به کار برده‌ایم. همچنین برای بهینه‌سازی حجم، ۱۵Å خلا، برای جلوگیری از اندرکنش بین لایه‌ها در یاخته‌های مجاور استفاده شده است. سپس، ضرایب تراپردازی ترموالکتریکی توسط حل معادله نیمه‌کلاسیکی بولتزمن در تقریب زمان واهلش، توسط بسته محاسباتی BoltzTraP به دست آمدند [۱۶]. به‌منظور به دست

ترمودینامیکی این ماده دو بعدی پیشنهادی با محاسبه انرژی همدوسی و پایداری دینامیکی آن با محاسبه پراکنده‌گی فونون بررسی شده است. خواص مناسب این نانوساختار، موجب شده که در زمینه‌های متعددی در صنعت کاربرد داشته باشد [۱۱].

در سال‌های اخیر، بررسی مواد ترموالکتریک مبتنی بر نانوساختارها به دلیل پتانسیل بالایی که برای تبدیل انرژی گرمایی به انرژی الکتریکی و یا بالعکس دارند، توجه زیادی را به خود جلب کرده است. بهره‌وری مواد ترموالکتریک توسط کمیت بدون بعد ضریب ارزشی  $ZT=S^2\sigma T/(K_e+K_l)$  نشان داده می‌شود که در آن S ضریب سیبیک،  $\sigma$  رسانندگی الکتریکی، T دمای مطلق،  $K_e$  و  $K_l$  به ترتیب، رسانندگی گرمایی الکترون‌ها و رسانندگی گرمایی فونونی ناشی از ارتعاشات شبکه می‌باشند [۱۲]. بدیهی است که هرچه مقدار ضریب عامل توان ( $PF=S^2\sigma$ ) بالاتر و رسانندگی گرمایی  $(K_e+K_l)$  پایین‌تر باشد، بهره‌وری ترموالکتریکی بهتر خواهد بود. در دهه اخیر تحقیقات گسترده‌ای در بهبود بهره‌وری مواد ترموالکتریکی انجام شده است [۱۳]. تحقیق روی مواد جدید هنوز یک مسیر مهم برای به دست آوردن مواد ترموالکتریکی با کارایی بالا است. ساختار الکترونی و پاسخ ترموالکتریکی نانوساختارها، دو خاصیت فیزیکی مهم هستند که با یستی مورد بررسی قرار گیرند. اثرات برهم‌کشی بس‌ذرهای نقش مهمی در مطالعه خواص الکترونی و ترموالکتریکی سامانه‌های ابعاد کم، ناشی از کاهش اثرات استثمار و افزایش همبستگی الکترون-الکترون، بازی می‌کند. انتظار می‌رود که نانوساختار تک‌لایه BeP<sub>2</sub> دارای خواص مختلف قابل توجهی و نیز پتانسیل بالقوه‌ای برای آینده نانو الکترونیک باشد.

<sup>۱</sup>Perdew-Burke-Ernzerhof (PBE)

با جایگزین کردن اتم‌های کربن با هیبریدهای  $sp^3$  و  $sp^2$  در پنج‌ضلعی گرافن<sup>۱</sup> (PG)، به ترتیب با اتم‌های فسفر و بریلیوم، ساختار پنج‌ضلعی تک لایه BeP<sub>2</sub> را طراحی کرد. طرح‌واره‌ای از اینچنین نانوساختار در شکل ۱ نشان داده شده است. بر طبق محاسبات ما، ثابت‌های شبکه بهینه‌سازی شده ساختار پنج‌ضلعی  $a=b=5.22\text{\AA}$  می‌باشند. علاوه بر این، بر پایه شبیه‌سازی انجام شده، در شبکه بلوری تک لایه پنج‌ضلعی BeP<sub>2</sub> اتم‌ها در سه سطح اتمی مختلف قرار دارند که عبارتند از یک صفحه بریلیوم درونی و دو صفحه فسفر بیرونی با ضخامت لایه‌ای  $h=1.50\text{\AA}$  که در آن دو نوع پیوند اتمی Be-P با طول پیوند  $d_{P,P}=2.06\text{\AA}$ ،  $d_{P,Be}=2.15\text{\AA}$ ، و P-P با طول پیوند  $d_{P,P}=2.15\text{\AA}$  تشکیل شده است. نتایج در جدول ۱ ارائه شده است. مقادیر ثابت شبکه و طول‌های پیوند برای نانوساختار پنج‌ضلعی تک لایه BeP<sub>2</sub> با آنچه که در مرجع [۱۱] آمده است، توافق خوبی دارد.



شکل ۱. الف: نمای بالا و جانبی پنج‌ضلعی تک لایه BeP<sub>2</sub> و ب: سلول واحد پنج‌ضلعی تک لایه BeP<sub>2</sub> از نمای بالا و جانبی.

آوردن نتایج قبل قبول، تعداد نقاط k در منطقه اول بریلوئن  $36 \times 36 \times 1$  در نظر گرفته شده است. محاسبات اخیر نشان می‌دهد که ویژگی‌های ترمولکتریکی برای مواد با ابعاد کم نسبت به مواد حجمی، به‌واسطه پراکندگی‌های گوناگون توسط فونون‌ها، عملکرد خوب ترمولکتریکی را نمایش می‌دهند [۱۷، ۱۸].

## بحث و نتیجه‌گیری

با بررسی پایداری یک نانو ساختار، می‌توان به‌نگرشی عمیق برای نتیجه‌آزمایشگاهی دست یافت و یک ماده دو بعدی مؤثر را جهت استخراج معرفی کرد. همان‌طور که در بخش مقدمه بیان شد، نانو ساختار BeP<sub>2</sub> که به‌تازگی پیش‌بینی شده است [۱۱]، پایداری‌های ساختاری، ترمودینامیکی، دینامیکی و مکانیکی خوبی را نشان می‌دهد و می‌تواند کاربردهای الکترونی و ترمولکتریکی بالقوه‌ای را از خود نشان دهد. ساختار نواری الکترونی و طیف چگالی حالت‌ها، به عنوان یک عامل اصلی در تعیین خواص الکترونی و ترمولکتریکی، مورد توجه زیادی قرار گرفته است. بر این اساس در این بخش، نتایج مربوط به خواص ساختاری و الکترونی نانو ساختار تک لایه BeP<sub>2</sub> جهت به‌دست آوردن ضرایب مربوط به خواص ترمولکتریکی، را مورد بحث قرار می‌دهیم. یاخته اولیه این نانوساختار مورد بررسی در این پژوهش، به صورت یاخته اولیه با شش اتم (دو اتم بریلیوم و چهار اتم فسفر) و تقارن تتراگونال در نظر گرفته شده است. با نگاهی دقیق به شبکه بلوری تک لایه BeP<sub>2</sub>، مشاهده می‌شود که هر اتم بریلیوم به چهار اتم فسفر، و هر اتم فسفر به دو اتم بریلیوم و یک اتم فسفر دیگر متصل است، به‌طوری‌که پنج‌ضلعی‌های اتمی در یک شبکه سه‌صفحه‌ای مختلف را تشکیل می‌دهند. می‌توان به‌سادگی

<sup>۱</sup>Penta-Graphene

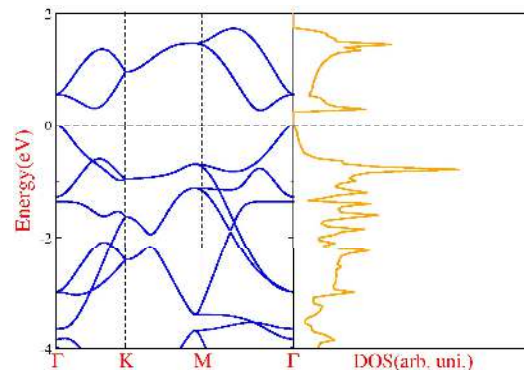
محاسبه انرژی کل اتم بریلیوم و اتم فسفر، یک سلول مکعبی ساده با ثابت شبکه  $15\text{\AA}$  در نظر گرفته شد، به طوری که تک اتم‌ها را در مرکز سلول قرار داده و انرژی‌ها را محاسبه کردیم. انرژی همدوسي ساختار  $\text{BeP}_2$  منفی و برابر  $-4.52\text{eV/atom}$  می‌باشد. به منظور مقایسه بیشتر، می‌توان آن را با مقادیر  $-7.91\text{eV/atom}$  برای گرافن [۱۹]،  $-3.94\text{eV/atom}$  برای سیلیسین [۲۰] و همچنین  $-6.99\text{eV/atom}$  برای تک لایه بورن-نیترید [۲۱] مقایسه کرد. می‌توان پیش‌بینی کرد که تک لایه  $\text{BeP}_2$  پایداری ساختاری خوبی را از خود نشان می‌دهد. انرژی الاستیک ( $\epsilon$ ) ساختارهای دو رابطه بعدی توسط می‌شوند [۲۲]، که در آن زیع تانسورهای کرنش و  $C_{ij}$  ثابت‌های الاستیک خطی مربوطه هستند. بر اساس مرجع [۲۲]، زمانی یک ساختار دو بعدی از نظر مکانیکی پایدار است که ثابت‌های الاستیک توسط روابط  $C_{11}C_{22} - C_{12}^2 > 0$  و  $C_{44} > 0$  برآورده شوند. بدلیل تقارن تراگونال ساختار  $\text{BeP}_2$ ، خواهیم داشت  $C_{11} = C_{22}$  و  $C_{44} = C_{11} - C_{12}$ . بنابراین شرط پایداری مکانیکی یک ساختار دو بعدی، با برقراری رابطه  $C_{11} > C_{12}$  معادل می‌شود. مقادیر  $C_{ij}$  را می‌توان از سطح انرژی سیستم در کرنش‌های مختلف به دست آورد. بر این اساس، در محدوده تغییر شکل کشسانی هارمونیک [۲۳، ۲۴]، نمودار انرژی-کرنش سه بعدی برای ساختار تک لایه  $\text{BeP}_2$  در شکل ۳ الف نشان داده شده است. کرنش به سلول واحد بین  $0.02$  تا  $0.04$  اعمال می‌شود.

همان‌طور که در شکل ۳ ب نشان داده شده است، می‌توان با برازش کردن چند جمله‌ای مرتبه دوم به داده‌ها با کرنش تک محوره،  $C_{11}$  را به دست آورد.

جدول ۱. ثابت‌های شبکه بهینه‌سازی شده، طول‌های پیوند، و طول خمیدگی،  $h$  برای پنج ضلعی تک لایه  $\text{BeP}_2$

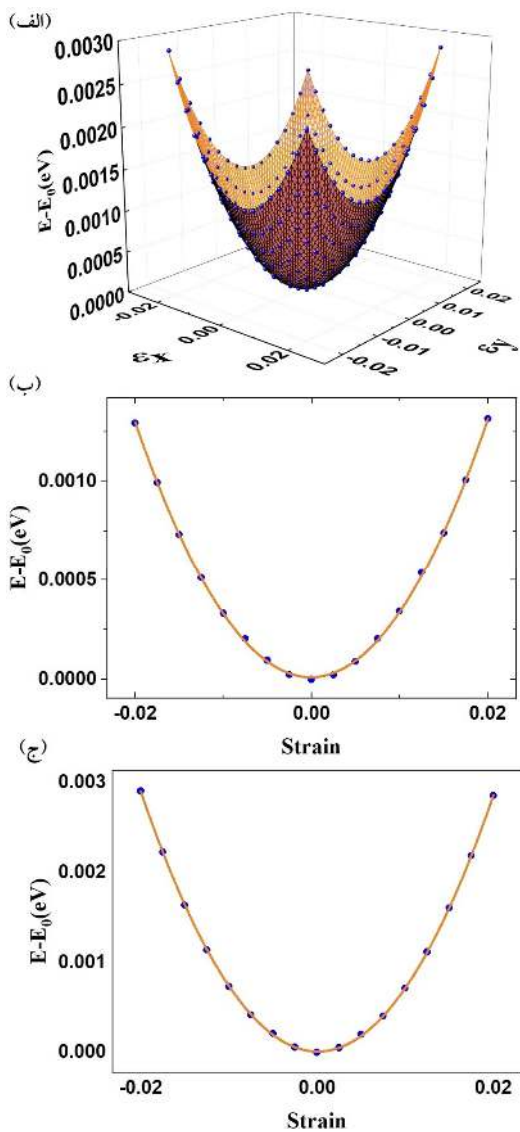
ساختار	$a=b(\text{\AA})$	$d_{\text{Be-P}}(\text{\AA})$	$d_{\text{P-P}}(\text{\AA})$	$h(\text{\AA})$
$\text{BeP}_2$	۵.۲۲	۲.۱۵	۲.۰۶	۱.۵۰

در شکل ۲ ساختار نواری الکترونی و طیف چگالی حالت‌ها در راستاهای تقارنی  $\Gamma$ -K-M- $\Gamma$  برای نانوساختار پنج ضلعی تک لایه  $\text{BeP}_2$  نشان داده شده است. همان‌طور که از شکل ۲ مشاهده می‌شود، نانوساختار پنج ضلعی  $\text{BeP}_2$  رفتار نیمرسانا از خود نشان می‌دهند، به طوری که ساختار پنج ضلعی  $\text{BeP}_2$  با (VBM) گاف نواری غیرمستقیم (ماکزیمم نوار ظرفیت (CBM) در نقطه  $\Gamma$  و مینیمم نوار رسانش (CBM) در مسیر  $M-\Gamma$  به میزان  $0.28\text{ eV}$  را از خود نشان می‌دهد که با آنچه که در مرجع [۱۱] گزارش شده است، توافق قابل قبولی دارند که مؤید صحت محاسبات انجام شده است.



شکل ۲. ساختار نواری (سمت چپ) و چگالی حالت‌های الکترونی (سمت راست) نانو ساختار پنج ضلعی تک لایه  $\text{BeP}_2$  با گاف نواری غیر مستقیم  $0.28\text{ eV}$  در راستاهای تقارنی،  $(\Gamma, K, M, \Gamma)$ ،  $(0, 0, 0, 0)$ ،  $(0, 0, 0, 0)$ ،  $(0, 0, 0, 0)$  و  $(0, 0, 0, 0)$ ، رسم شده است. مقیاس انرژی بر حسب  $\text{eV}$  و مبدأ انرژی به طور دلخواه به عنوان بیشینه نوار ظرفیت انتخاب شده است.

برای نانوساختار تک لایه  $\text{BeP}_2$ ، انرژی همدوسي از رابطه  $E_B = \frac{E_{\text{BeP}_2} - 2E_{\text{Be}} - 4E_P}{6}$  به دست می‌آید. در این رابطه  $E_B$ ،  $E_{\text{BeP}_2}$ ،  $E_{\text{Be}}$  و  $E_P$  به ترتیب، انرژی‌های ساختار  $\text{BeP}_2$ ، اتم بریلیوم و اتم فسفر می‌باشند. برای

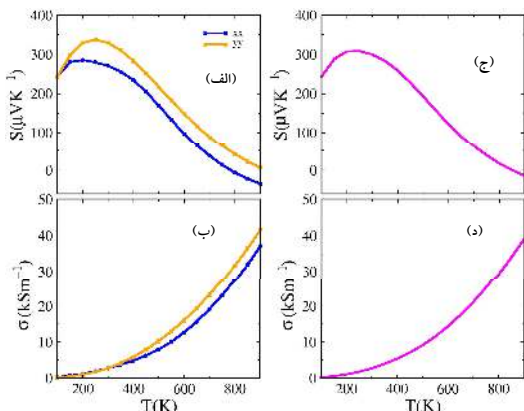


شکل ۳. الف: نمودار انرژی-کرنش سه بعدی برای ساختار تک لایه BeP<sub>2</sub> گلولمه‌های آبی رنگ کوچک داده‌های اصلی هستند و سطح رنگی مقدار برازش شده را نشان می‌دهد. ب و ج: به ترتیب، منحنی‌های انرژی برای BeP<sub>2</sub> تحت کرنش تک محوره و دو محوره می‌باشد.

از آنجایی که ضرایب تراپردازی عمدتاً وابسته به خواص الکترونی هستند، وجود گاف نواری ممکن است باعث کاهش غلظت حامل‌های بار در اطراف انرژی فرمی شود. این امر می‌تواند منجر به ضرایب سیبیک بزرگ شود و همچنین می‌توان با آلایش مناسب حامل‌های بار، ضریب عامل توان و ضریب ارزشی بزرگی را به دست آورد. در ادامه، خواص ترمومالکتریکی نانوساختار مورد

به عنوان ترتیب، مقدار  $2(C_{11}+C_{12})$  از داده‌های با کرنش دو محوره، در شکل ۳ج محاسبه می‌شود [۲۲]. برای ساختار تک لایه BeP<sub>2</sub>،  $C_{11}=51.85\text{ N/m}$  و  $C_{12}=5.60\text{ N/m}$  می‌باشد که شرط  $C_{11} > C_{12}$  را برای پایداری مکانیکی برآورده می‌کند. به عبارت دیگر تک لایه BeP<sub>2</sub> یک ساختار پایدار مکانیکی است. همچنین سختی در صفحه و نسبت پواسون برای تک لایه BeP<sub>2</sub> ۵۱.۲۲ و ۰.۱ به دست آمدند. جایگزین کردن اتم‌های فسفر و بربیلیوم به جای اتم‌های کربن در ساختار PG تأثیر قابل توجهی در خواص مکانیکی آن دارد. به طوری که سختی در صفحه در ساختار BeP<sub>2</sub> کوچکتر از تک لایه کربنی PG است. نظم پیوندهای بین اتمی و جزئیات هندسه ساختار می‌تواند بر میزان کاهش سختی در صفحه تأثیر بگذارد.

را نشان می‌دهند که متناظر با افزایش رسانندگی الکتریکی در همین منطقه دمایی، برای ساختار BeP<sub>2</sub> است که با نتایج [۲۵-۲۷] مطابقت دارد. در شکل ۴ج، بیشترین مقدار ضریب سیبک برای BeP<sub>2</sub> ۳۰.۹ μV/K است که با دمای ۲۵۰ کلوین است. بنابراین، با توجه به اینکه ضریب سیبک مثبت است، نانوساختار BeP<sub>2</sub> نیمرسانای نوع p است و حفره‌ها حامل‌های اصلی بار در رسانش هستند. شکل ۴د رسانندگی الکتریکی کل برای BeP<sub>2</sub> را نشان می‌دهد به طوری که با افزایش دما مقدار آن از صفر تا حدود ۴۰ kS/m متغیر است.



شکل ۴. الف و ب: به ترتیب، نمودار تغییرات ضریب سیبک و رسانندگی الکتریکی در راستاهای x و y بر حسب تابعی از دما برای نانو ساختار پنج ضلعی تک لایه BeP<sub>2</sub>. ج و د: به ترتیب، نمودار تغییرات ضریب سیبک کل و رسانندگی الکتریکی کل بر حسب تابعی از دما برای نانو ساختار پنج ضلعی تک لایه BeP<sub>2</sub>.

در محاسبات ترابردی بولتزمن در تقریب زمان واهلش، ضریب سیبک، مستقل از زمان واهلش  $\tau$  است، در صورتی که رسانندگی الکتریکی به طور خطی وابسته به  $\tau$  است. به علاوه، رسانندگی گرمایی الکترونی ( $K_e$ ) توسط معادله ویدمان-فرانز ( $K_e = L\sigma T$ ) که  $L$  ثابت لورنتس است) بیان می‌شود، بنابراین،  $K_e$  نیز به  $\tau$  وابسته است. در این مقاله، زمان واهلش ثابت  $\tau = 1 \times 10^{-14}$  در نظر گرفته می‌شود [۲۷، ۲۸]. در شکل ۵ نمودار تغییرات رسانندگی گرمایی الکترونی، در راستاهای x و y بر حسب دما برای نانوساختار BeP<sub>2</sub> رسم شده است.

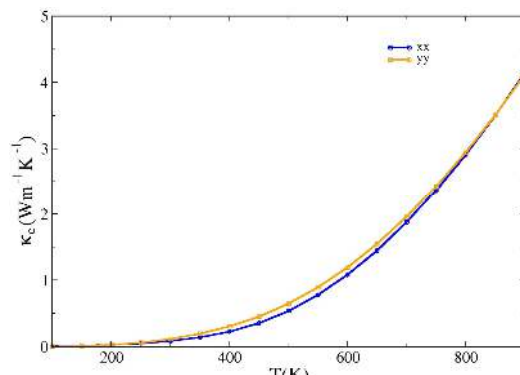
بررسی را از جمله ضرایب ترموالکتریک مانند ضریب سیبک، رسانندگی الکتریکی، رسانندگی گرمایی الکترونی، ضریب عامل توان و کمیت بدون بعد ضریب ارزشی ZT، را مورد مطالعه قرار می‌دهیم.

شکل ۴الف و ب: به ترتیب، ضریب سیبک (S) و رسانندگی الکتریکی ( $\sigma$ ) در راستاهای x و y را بر حسب تابعی از دما و در پتانسیل شیمیایی صفر،  $\mu_e = 0$  برای نانوساختار پنج ضلعی تک لایه BeP<sub>2</sub> را نشان می‌دهد. مکان پتانسیل شیمیایی ( $\mu$ ) نقش مهمی در خواص ترابردی بازی می‌کند. مکان  $\mu$  در ساختار نواری تعیین کننده مشارکت الکترون‌های نوار ظرفیت و یا رسانش در ترابرد الکترونی است و بنابراین ضریب سیبک و رسانندگی الکتریکی را تحت تأثیر قرار می‌دهد. می‌توان با تغییر دادن تعداد الکترون‌های نوار ظرفیت، پتانسیل شیمیایی را دست‌کاری کرد. همان‌طور که از شکل ۴الف و ب مشخص است، خواص ترابردی کاملاً ناهمسانگرد برای این نانوساختار، در محدوده دمایی نشان داده شده را نمایش می‌دهد. همچنین، شکل ۴ج و ۴د به ترتیب، مقدار ضریب سیبک و رسانندگی الکتریکی کل، که برابر با مقادیر میانگین دو جهت x و y است، را نشان می‌دهد. در شکل ۴ج ضریب سیبک برای ساختار BeP<sub>2</sub> در محدوده دمایی بین ۱۰۰ تا ۲۵۰ کلوین، افزایش و برای دماهای بالاتر از ۲۵۰ کلوین کاهش پیدا می‌کند. این امر معمولاً ناشی از اثر دوقطبی [۲۵، ۲۶] و به واسطه ماهیت مخالف جریان‌های ایجاد شده توسط الکترون‌ها و حفره‌ها در اثر شیب حرارتی می‌باشد. اثر دوقطبی معمولاً در نیمرساناهایی با گاف نواری باریک (کمتر از ۰.۵ eV) قابل توجه است و منشأ آن برانگیختگی الکترون‌ها از نوار ظرفیت به نوار رسانش و ایجاد حفره‌ها در نوار ظرفیت در اثر شیب حرارتی می‌باشد. همچنین، در محدوده دماهای بالا ضریب سیبک یک روند کاهشی

به رسانندگی گرمایی فونونی ناشی از ارتعاشات شبکه نقش عمده را در  $ZT$  بازی می‌کند. هنگامی که دما افزایش پیدا می‌کند، بهویژه برای دماهای بالاتر از دماهای اتاق، الکترون‌های بیشتری برانگیخته می‌شوند که منجر به افزایش رسانندگی الکترونی می‌شود، در حالی که سهم شبکه به دلیل افزایش پراکندگی‌های فونونی ناشی از ارتعاشات شبکه، کاهش می‌یابد. بنابراین، همان‌طور که دما به مقادیر بالاتر افزایش می‌یابد، نسبت  $ZT_e$  تخمین خوبی از  $ZT$  است [۲۹-۳۱].

در شکل‌های ۶، ۷، ۸ و ۹ ضریب سیبیک، رسانندگی الکتریکی، ضریب عامل توان و ضریب ارزشی در دماهای مختلف (۳۰۰ و ۶۰۰ کلوین) بر حسب تابعی از پتانسیل شیمیایی به‌منظور بهینه‌سازی عملکرد حرارتی این نانوساختار، رسم شده‌اند. از آنجایی که پتانسیل شیمیایی  $= 0 \mu\text{V}$  در بالاترین نوار ظرفیت این نانوساختار انتخاب شده است، پتانسیل شیمیایی مثبت (منفی) متناصر با آلایش نوع  $n$  (p) حامل‌های بار است. جالب توجه این است که  $S$  در محدوده کوچکی در اطراف  $= 0 \mu\text{V}$  بسیار افزایش می‌یابد، که نشان دهنده این است که می‌توان مقدار قابل توجهی از  $S$  را از طریق آلایش کم حامل‌های نوع  $n$  یا  $p$  به دست آورد. همچنین، بیشینه مقدار  $S$  برای این نانوساختار با افزایش دما کاهش پیدا می‌کند، به طوری که مقدار آن از  $308 \mu\text{V/K}$  در دما  $300$  کلوین به مقدار  $176 \mu\text{V/K}$  در دما  $600$  کلوین می‌رسد [۲۷، ۳۲].

همان‌طور که مشاهده می‌شود، رسانندگی گرمایی الکترونی  $\text{BeP}_2$  تقریباً تا دمای  $250$  کلوین مقدار صفر را نتیجه می‌دهد. این نتیجه نشان دهنده پایداری حرارتی  $\text{BeP}_2$  است [۲۷]. از شکل ۵ به راحتی ملاحظه می‌شود که به‌ازای دمای بیشتر از  $250$  کلوین، رسانندگی گرمایی الکترونی افزایش سریع پیدا می‌کند. این رفتار با افزایش رسانندگی الکتریکی نشان داده شده در شکل ۴ د به دلیل رابطهٔ متناسب بین رسانندگی الکتریکی و رسانندگی گرمایی الکترونی مطابقت دارد.



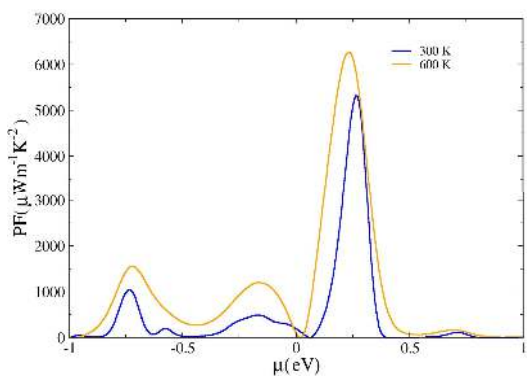
شکل ۵ نمودار تغییرات رسانندگی گرمایی در راستاهای  $x$  و  $y$  بر حسب تابعی از دما برای نانوساختار  $\text{BeP}_2$ .

اگر رابطهٔ ضریب ارزشی  $ZT$  را به صورت زیر بنویسیم:

$$ZT = \frac{S^2 \sigma T}{\kappa_e} \frac{\kappa_e}{\kappa_e + \kappa_l} \quad ۱$$

رابطه،  $ZT_e = S^2 \sigma T / \kappa_e$ ، مستقل از زمان واهلش  $\tau$ ، و حد بالایی از ضریب ارزشی ترموالکتریک است که مشارکت رسانندگی گرمایی فونونی ناشی از ارتعاشات شبکه را در نظر نمی‌گیرد. اگر سهم شبکه در رسانندگی گرمایی ( $\kappa_l$ ) در مقایسه با جمله الکترونی ( $\kappa_e$ ) ناچیز باشد،  $ZT_e$  به  $ZT$  نزدیک می‌شود. در دماهای بسیار پایین، تعداد کمی از الکترون‌ها برانگیخته می‌شوند که منجر به رسانندگی گرمایی الکترونی کم می‌شود. بنابراین، ممکن است که رسانندگی گرمایی توسعه سهم شبکه بیان شود به‌این معنی که جمله مربوط

برای هر دو نوع آلایش n و p برای این نانوساختار می‌شود و همچنین آلایش نوع n نتایج بهتری نسبت به آلایش نوع p را نمایش می‌دهد. در مقابل، قله‌های ضریب عامل توان در ۶۰۰ کلوین بالاتر از ۳۰۰ کلوین هستند که این امر به‌واسطه  $|S|$  بزرگ‌تر در مقادیر بزرگ  $|\mu|$  می‌باشد. در جدول ۲ قله‌های ضریب عامل توان و غلظت حامل‌های بار مربوطه برای هر دو نوع آلایش n و p در دماهای ۳۰۰ و ۶۰۰ کلوین از این نانوساختار نشان داده شده است.

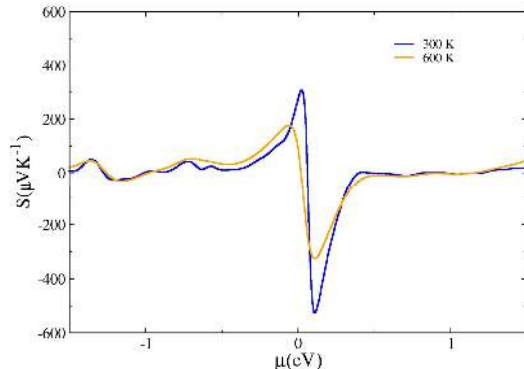


شکل ۶ نمودار تغییرات ضریب سیبیک برحسب تابعی از پتانسیل شیمیایی برای نانوساختار BeP<sub>2</sub>. در دماهای ۳۰۰ و ۶۰۰ کلوین.

جدول ۲. قله‌های ضریب عامل توان،  $\text{PF} (\mu\text{W/m K})$  و غلظت‌های حامل‌های بار،  $N (\text{cm}^{-3})$  برای آلایش نوع n و p تک لایه BeP<sub>2</sub> در دماهای ۳۰۰ و ۶۰۰ کلوین.

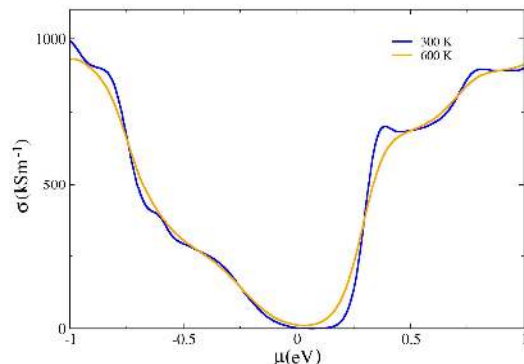
دما	نوع n		نوع p	
	PF	N	PF	N
۳۰۰	۵۳۲۰	$4.41 \times 10^{+11}$	۱۰۴۲	$15.95 \times 10^{+12}$
۶۰۰	۶۲۷۱	$8.09 \times 10^{+11}$	۱۵۵۲	$16.02 \times 10^{+12}$

همان‌طور که از شکل ۹ مشاهده می‌شود، مقدار ZT<sub>e</sub> این ترکیب در مقایسه با نمودار ضریب عامل توان، تقریباً در محدوده کوچکی از  $|\mu|$  بهیشینه مقدار خود می‌رسد. در شکل ۹ نمودار تغییرات ضریب ارزشی برحسب



شکل ۷ نمودار تغییرات ضریب عامل توان برحسب تابعی از پتانسیل شیمیایی برای نانوساختار BeP<sub>2</sub>. در دماهای ۳۰۰ و ۶۰۰ کلوین.

نمودار تغییرات رسانندگی الکتریکی نانوساختار تک لایه BeP<sub>2</sub> در شکل ۷ در دماهای مختلف ۳۰۰ و ۶۰۰ کلوین رسم شده است. همان‌طور که مشاهده می‌شود، نمودار تقریباً مقدار مستقل از دما را نشان می‌دهد و همچنین با افزایش نوع آلایش (n یا p) رسانندگی الکتریکی افزایش می‌یابد. بیشینه مقدار رسانندگی p الکتریکی در دمای ۳۰۰ کلوین، در آلایش نوع p حامل‌ها به میزان ۹۹۵ kS/m اتفاق می‌افتد که در آن S واحد زیمنس (واحد رسانندگی الکتریکی) می‌باشد.



شکل ۸ نمودار تغییرات رسانندگی الکتریکی برحسب تابعی از پتانسیل شیمیایی برای نانوساختار BeP<sub>2</sub>. در دماهای ۳۰۰ و ۶۰۰ کلوین.

در شکل ۸ نمودار تغییرات ضریب عامل توان برحسب تابعی از پتانسیل شیمیایی برای نانوساختار BeP<sub>2</sub> در دماهای ۳۰۰ و ۶۰۰ کلوین، رسم شده است. بدیهی است که  $|S|$  بزرگ، منجر به ضریب عامل توان بزرگ

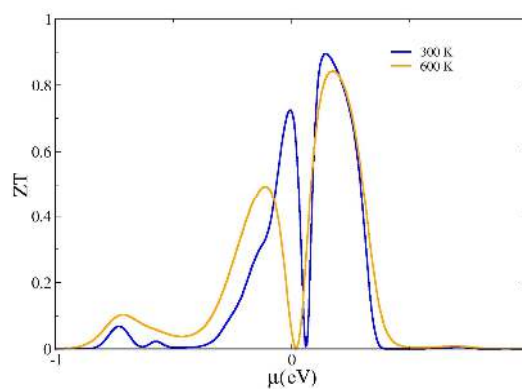
ضریب سیبیک و ضریب ارزشی در دمای اتاق به ترتیب،  $30.8 \mu\text{V/K}$  و  $0.9$  به دست آمدند.

## مرجع‌ها

- [1] K.S. Novoselov, A.K. Geim, S.V. Morozov, D. Jiang, Y. Zhang, S.V. Dubonos, I.V. Grigorieva, A.A. Firsov, Electric field effect in atomically thin carbon films, *Science* **306** (2004) 666-669. <https://doi.org/10.1126/science.1102896>
- [2] H. Lu, S.-D. Li, Two-dimensional carbon allotropes from graphene to graphyne, *Journal of Materials Chemistry C* **1** (2013) 3677-3680. <https://doi.org/10.1039/C3TC30302K>
- [3] P. Vogt, P. De Padova, C. Quaresima, J. Avila, E. Frantzeskakis, M. C. Asensio, A. Resta, B. Ealet, G. Le Lay, Silicene: compelling experimental evidence for graphene like two-dimensional silicon, *Physical Review Letters* **108** (2012) 155501. <https://doi.org/10.1103/PhysRevLett.108.155501>
- [4] M.E. Dávila, L. Xian, S. Cahangirov, A. Rubio, G. LeLay, Germanene: a novel twodimensional germanium allotrope akin to graphene and silicene, *New Journal of Physics* **16** (2014) 095002. <https://doi.org/10.1088/1367-2630/16/9/095002>
- [5] S. Saxena, R.P. Chaudhary, S. Shukla, Stanene: Atomically Thick Free-standing Layer of 2D Hexagonal Tin, *Scientific Reports* **6** (2016) 31073. <https://doi.org/10.1038/srep31073>
- [6] C. Zhi, Y. Bando, C. Tang, H. Kuwahara, D. Golberg, Large-Scale Fabrication of Boron Nitride Nanosheets and Their Utilization in Polymeric Composites with Improved Thermal and Mechanical Properties, *Advanced Materials* **21** (2009) 2889. <https://doi.org/10.1002/adma.200900323>
- [7] S. Zhang, J. Zhou, Q. Wang, X. Chen, Y. Kawazoe, P. Jena, Penta-graphene: A new carbon allotrope, *Proceedings of the National Academy of Sciences* **112** 8 (2015) 2372-2377. <https://doi.org/10.1073/pnas.1416591112>
- [8] M. Yagmurcukardes, H. Sahin, J. Kang, E. Torun, F.M. Peeters, R.T. Senger, Pentagonal monolayer crystals of carbon, boron nitride, and

تابعی از پتانسیل شیمیایی برای نانوساختار  $\text{BeP}_2$  در دماهای ۳۰۰ و ۶۰۰ کلوین، رسم شده است.

مقدار ضریب ارزشی بزرگتری در دمای ۳۰۰ کلوین مشاهده می‌شود، به طوری که برای آلایش نوع  $n$  و  $p$  حامل‌ها، مقدار  $0.9$  را نشان می‌دهد، که نشان دهنده عملکرد خوب  $\text{BeP}_2$  در دمای اتاق است.



شکل ۹. نمودار تغییرات ضریب ارزشی بر حسب تابعی از پتانسیل شیمیایی برای نانوساختار  $\text{BeP}_2$  در دماهای ۳۰۰ و ۶۰۰ کلوین.

## نتیجه‌گیری

ویژگی‌های الکترونی و ترموالکتریکی نانوساختار پنج‌ضلعی تک‌لایه  $\text{BeP}_2$  توسط محاسبات اصول اولیه همراه با نظریه نیمه کلامیکی تراپریدی بولتزمن، مورد مطالعه قرار گرفتند. گاف نواری این ساختار غیر مستقیم و برابر  $0.28$  الکترون ولت محاسبه شده است. نتایج، خواص ترموالکتریک بر جسته‌ای برای این نانوساختار را نشان می‌دهد. به طوری که می‌توان ضریب سیبیک بزرگ، رسانندگی‌های گرمایی پایین، ضرایب عامل توان بالا را در این نانوساختار به دست آورد. بنابراین، انتظار می‌رود که در آینده، نانوساختار تک‌لایه  $\text{BeP}_2$  نامزد بسیار خوبی برای مواد ترموالکتریک با کارایی بالا باشد. علاوه براین، تک‌لایه  $\text{BeP}_2$ . ویژگی‌های نسبی بر جسته ترموالکتریکی را از خود نمایش می‌دهد، به طوری که این نانوساختار یک نیم‌رسانای نوع  $p$  است و مقدار

- [18] G. Shi, E. Kioupakis, Quasiparticle band structures and thermoelectric transport properties of p-type SnSe, *Journal of Applied Physics* **117** (2015) 065103(10). <https://doi.org/10.1063/1.4907805>
- [19] H. Shin, S. Kang, J. Koo, H. Lee, J. Kim, Y. Kwon, Cohesion energetics of carbon allotropes: Quantum Monte Carlo study, *The Journal of Chemical Physics* **140** (2014) 114702. <https://doi.org/10.1063/1.4867544>
- [20] P. Vogt, P. De Padova, C. Quaresima, J. Avila, E. Frantzeskakis, M.C. Asensio, A. Resta, B. Ealet, G. Le Lay, Silicene: compelling experimental evidence for graphene like two-dimensional silicon, *Physical Review Letters* **108** (2012) 155501. <https://doi.org/10.1103/PhysRevLett.108.155501>
- [21] S.H. Mir, V.K. Yada, J.K. Singh, Boron-Carbon–Nitride Sheet as a Novel Surface for Biological Applications: Insights from Density Functional Theory, *ACS Omega* **4** (2019) 3732–3738. <https://doi.org/10.1021/acsomega.8b03454>
- [22] Y. Ding, Y. Wang, Density Functional Theory Study of the Silicene-like SiX and XSi<sub>3</sub> (X = B, C, N, Al, P) Honeycomb Lattices: The Various Buckled Structures and Versatile Electronic Properties, *The Journal of Physical Chemistry C* **117** (2013) 18266–18278. <https://doi.org/10.1021/jp407666m>
- [23] M. Topsakal, S. Cahangirov, S. Ciraci, The response of mechanical and electronic properties of graphane to the elastic strain, *Applied Physics Letters* **96** (2010) 091912(3). <https://doi.org/10.1063/1.3353968>
- [24] J. Kang, J. Li, F. Wu, S.-S. Li, J.-B. Xia, Elastic, electronic, and optical properties of two-dimensional graphyne sheet, *The Journal of Physical Chemistry C* **115** (42) (2011) 20466–20470. <https://doi.org/10.1021/jp206751m>
- [25] J.J. Gong, A.J. Hong, J. Shuai, L. Li, Z.B. Yan, Z.F. Ren, J.-M. Liu, Investigation of the bipolar effect in the thermoelectric material CaMg<sub>2</sub>Bi<sub>2</sub> using a first-principles study, *Physical Chemistry Chemical Physics* **18** (2016) 16566–16574. <https://doi.org/10.1039/C6CP02057G>
- [26] S. Lin, W. Li, Z. Chen, J. Shen, B. Ge, Y. Pei, Tellurium as a high-performance elemental thermoelectric, *Nature Communications* **7** silver azide, *Journal of Applied Physics* **118** **10** (2015) 104303(6). <https://doi.org/10.1063/1.4930086>
- [9] C. Wang, W. Cui, J. Shao, X. Zhu, X. Lu, Exploration on stability, aromaticity, and potential energy surface of planar B<sub>n</sub>C<sub>2</sub>(n= 3–8), *Computational and Theoretical Chemistry* **1006** (2013) 19–30. <http://dx.doi.org/10.1016/j.comptc.2012.12.001>
- [10] Y. Shen, Q. Wang, Pentagon-based 2D materials: Classification, properties and applications, *Physics Reports* **964** (2022) 1–42. <https://doi.org/10.1016/j.physrep.2022.03.003>
- [11] Z. Azarmi, M. Naseri, S. Parsamehr, Pentab-BEP<sub>2</sub> monolayer: A new 2D beryllium phosphate with a narrow band gap, *Chemical Physics Letters* **728** (2019) 136–141. <https://doi.org/10.1016/j.cplett.2019.05.006>
- [12] P. Reddy, S.Y. Jang, R.A. Segalman, A. Majumdar, Thermoelectricity in molecular junctions, *Science* **315** (2007) 1568–1571. <https://doi.org/10.1126/science.1137149>
- [13] Y. Dubi, M. Di Ventra, Colloquium: Heat flow and thermoelectricity in atomic and molecular junctions, *Reviews of Modern Physics* **83** (2011) 131–155. <https://doi.org/10.1103/RevModPhys.83.131>
- [14] P. Giannozzi, et al., A modular and open-source software project for quantum simulations of materials, *Journal of Physics: Condensed Matter* **21** (2009) 395502–395521. <https://doi.org/doi:10.1088/0953-8984/21/39/395502>
- [15] J.P. Perdew, K. Burke, M. Ernzerhof, Generalized Gradient Approximation Made Simple, *Physical Review Letters* **77** **18** (1996) 3865–3868. <https://doi.org/10.1103/PhysRevLett.77.3865>
- [16] G.K.H. Madsen, D.J. Singh, BoltzTraP. A code for calculating band-structure dependent quantities, *Computer Physics Communications* **175** (2006) 67–71. <https://doi.org/10.1016/j.cpc.2006.03.007>
- [17] N.F. Hinsche, et al., Thermoelectric transport in Bi<sub>2</sub>Te<sub>3</sub>/Sb<sub>2</sub>Te<sub>3</sub> superlattices, *Physical Review B* **86** (2012) 085323(13). <https://doi.org/10.1103/PhysRevB.86.085323>

(2016) 10287 (6).  
<https://doi.org/10.1038/ncomms10287>

[27] G. Ding, G. Gao, K. Yao, High-efficient thermoelectric materials: The case of orthorhombic IV-VI compounds, *Scientific Reports* **5** (2015) 9567(7).  
<https://doi.org/10.1038/srep09567>

[28] S. Yabuuchi, M. Okamoto, A. Nishide, Y. Kuroaki, & J. Hayakawa, Large Seebeck Coefficients of  $\text{Fe}_2\text{TiSn}$  and  $\text{Fe}_2\text{TiSi}$ : First-Principles Study, *Applied Physics Express* **6** (2013) 025504(3).  
<https://doi.org/10.7567/APEX.6.025504>

[29] L.D. Zhao, S.H. Lo, Y. Zhang, H. Sun, G. Tan, C. Uher, C. Wolverton, V.P. Dravid, M.G. Kanatzidis, Ultralow thermal conductivity and high thermoelectric figure of merit in SnSe crystals, *Nature* **508** (2014) 373.  
<https://doi.org/10.1038/nature13184>

[30] N. Gaonkar, R.G. Vaidya, Phonon mode-dependent lattice thermal conductivity of nanoscale black phosphorus, *Physics Letters A* **384** (2020) 126912.  
<https://doi.org/10.1016/j.physleta.2020.126912>

[31] D.L. Nika, E.P. Pokatilov, A.S. Askerov, A.A. Balandin, Phonon thermal conduction in graphene: Role of Umklapp and edge roughness scattering, *Physical Review B* **79** (2009) 155413.  
<https://doi.org/10.1103/PhysRevB.79.155413>

[32] S. Ouardi, G.H. Fecher, B. Balke, X. Kozina, G. Stryganyuk, C. Felser, Electronic transport properties of electron- and hole-doped semiconducting  $\text{C}1_b$  Heusler compounds:  $\text{NiTi}_{1-x}\text{M}_x\text{Sn}$  ( $\text{M}=\text{Sc}, \text{V}$ ), *Physical Review B* **82** (2010) 085108(9).  
<https://doi.org/10.1103/PhysRevB.82.085108>